

| | |
|---------------------|---|
| Zeitschrift: | Cahiers d'archéologie romande |
| Herausgeber: | Bibliothèque Historique Vaudoise |
| Band: | 122 (2011) |
| | |
| Artikel: | Le cadre environnemental et les occupations du Néolithique au Bronze moyen : Onnens-Le Motti, La Golette, Beau Site |
| Autor: | Schopfer Luginbühl, Anne / Niu, Claudia / Rychner-Faraggi, Anne-Marie |
| Kapitel: | 4: Datations radiocarbone |
| DOI: | https://doi.org/10.5169/seals-835826 |

Nutzungsbedingungen

Die ETH-Bibliothek ist die Anbieterin der digitalisierten Zeitschriften auf E-Periodica. Sie besitzt keine Urheberrechte an den Zeitschriften und ist nicht verantwortlich für deren Inhalte. Die Rechte liegen in der Regel bei den Herausgebern beziehungsweise den externen Rechteinhabern. Das Veröffentlichen von Bildern in Print- und Online-Publikationen sowie auf Social Media-Kanälen oder Webseiten ist nur mit vorheriger Genehmigung der Rechteinhaber erlaubt. [Mehr erfahren](#)

Conditions d'utilisation

L'ETH Library est le fournisseur des revues numérisées. Elle ne détient aucun droit d'auteur sur les revues et n'est pas responsable de leur contenu. En règle générale, les droits sont détenus par les éditeurs ou les détenteurs de droits externes. La reproduction d'images dans des publications imprimées ou en ligne ainsi que sur des canaux de médias sociaux ou des sites web n'est autorisée qu'avec l'accord préalable des détenteurs des droits. [En savoir plus](#)

Terms of use

The ETH Library is the provider of the digitised journals. It does not own any copyrights to the journals and is not responsible for their content. The rights usually lie with the publishers or the external rights holders. Publishing images in print and online publications, as well as on social media channels or websites, is only permitted with the prior consent of the rights holders. [Find out more](#)

Download PDF: 28.12.2025

ETH-Bibliothek Zürich, E-Periodica, <https://www.e-periodica.ch>

4. Datations radiocarbone

Anne Schopfer Luginbühl

Introduction

Les sites d'Onnens-*Le Motti*, Onnens-*La Golette* et Onnens-*Beau Site* ont en commun le fait d'avoir livré un nombre important de structures en creux apparues au sommet du terrain naturel et pour lesquelles nous ne possédions le plus souvent aucun argument de datation. Un recours systématique à l'analyse par radiocarbone ne se justifiant pas, une ou plusieurs structures appartenant à des ensembles – idéalement un plan de bâtiment, mais le plus souvent des concentrations géographiquement distinctes – ont été sélectionnées. Quelques analyses ont également été effectuées sur des charbons provenant de structures particulières pauvres en mobilier, notamment des tombes à incinération et des fosses-foyer à pierres chauffantes¹. Dans la mesure du possible, nous avons préféré les fragments de charbon recueillis directement sur le terrain aux paillettes de charbon isolées par flottaison dans les prélèvements de sédiment. Malheureusement, nous avons parfois dû nous contenter de ce type d'échantillon, notamment pour certains bâtiments de *La Golette* (voir chap. 5.2.5).

Pour les contextes antérieurs au Bronze final² (fig. 44), 21 échantillons proviennent de trous de poteau appartenant à des ensembles de structures. Deux prélèvements de charbon sont issus de

dépôts naturels, qu'il s'agissait d'associer aux vestiges anthropiques au sein des différents horizons (fig. 44, 4 et 22). Quatre autres échantillons appartiennent à des structures ou des niveaux datés par la présence de mobilier céramique (fig. 44, 2, 5, 6, 12). Pour ces derniers, l'analyse ^{14}C avait parfois pour but de préciser la datation céramologique, mais surtout de comparer et d'associer ces structures aux autres contextes datés uniquement par radiocarbone.

Résultats

Pour les trois sites considérés, 29 prélèvements de charbon ont fait l'objet d'une datation au radiocarbone³ (fig. 44 et fig. 45). La plupart des résultats obtenus s'échelonnent sans hiatus entre le Néolithique moyen II et le Bronze moyen. Plusieurs groupes semblent néanmoins se distinguer, centrés sur les cultures du Port-Conty (fig. 44, 20-23), du Lüscherz récent (13-17) et du Campaniforme (9-12; voir chap. 5), ainsi que sur la période du Bronze A2-Bronze B (1-6, voir chap. 7). Quatre dates remontent en outre au Néolithique moyen I (24-27), alors que deux dates bien plus anciennes (28-29) se rattachent l'une au Mésolithique récent et l'autre à l'Epipaléolithique⁴.

Pris globalement, ces résultats apparaissent comme relativement cohérents et les deux dates

¹ Ces structures sont associées aux horizons Bronze final et Hallstatt et seront présentées dans un prochain volume.

² Nous ne présentons ici que les dates relatives aux premières occupations mises au jour sur ces trois sites et attribuées au Néolithique, au Bronze ancien et au Bronze moyen.

³ Les mesures ont été effectuées à l'accélérateur de particules du laboratoire de l'Institut de physique des particules de l'EPFZ.

⁴ Ces dates sont reprises plus en détail dans le chapitre 5.

| n° | Site | n° ETH | Contexte | Phase | AMS ^{14}C BP | Age calibré BC 1 σ | Age calibré BC 2 σ | Période / Culture |
|----|------|--------|------------------------|-------------|------------------------|---|---|--|
| 1 | GL | 35039 | St. 33 | 12 | 3295±55 BP | 1640-1500 (68.2%) | 1700-1440 (95.4%) | BzA2b-BzC |
| 2 | MT | 32571 | St. 322 | 17 | 3300±50 BP | 1640-1510 (68.2 %) | 1690-1450 (95.4 %) | BzA2b-BzC |
| 3 | MT | 39541 | St. 329 | 17 | 3310±40 BP | 1630-1520 (68.2 %) | 1690-1490 (95.4 %) | BzA2b-BzB |
| 4 | MT | 32574 | marais | 13 | 3335±50 BP | 1690-1600 (43.4 %) 1590-1530 (24.8 %) | 1740-1500 (95.4 %) | BzA2a-BzB |
| 5 | MT | 32570 | coupe 10, couche 16 | 16 | 3365±55 BP | 1740-1600 (63.2 %) 1570-1560 (3.1 %) 1550-1540 (1.9 %) | 1870-1840 (1.6 %) 1780-1500 (93.8 %) | BzA2a-BzB |
| 6 | MT | 32572 | St. 515 | 17 | 3390±60 BP | 1770-1600 (68.2 %) | 1880-1520 (95.4 %) | BzA2a-BzB |
| 7 | GL | 35040 | St. 66 | 14 | 3470±55 BP | 1880-1730 (65.9 %) 1710-1690 (2.3 %) | 1930-1630 (95.4 %) | BzA2a-A2b |
| 8 | GL | 36547 | St. 150 | 14 | 3490±40 BP | 1880-1750 (65.9 %), | 1920-1730 (91.5 %) 1720-1690 (3.9 %) | BzA2a-A2b |
| 9 | BS | 32405 | St. 159 | 14 | 3645±55 BP | 2130-2080 (17.6%) 2050-1930 (50.6%) | 2200-2160 (2.8%) 2150-1880 (92.6%) | BzA1-A2a |
| 10 | GL | 32579 | St. 6 | 12 | 3685±55BP | 2190-2180 (2.7%) 2140-2010 (58.5%) 2000-1970 (7.0%) | 2280-2250 (1.0%) 2210-1910 (94.4%) | Campaniforme - BzA2a |
| 11 | GL | 35041 | St. 73 | 12 | 3845±55 BP | 2460-2370 (17.3%) 2350-2200 (50.9%) | 2470-2190 (90.6%) 2180-2140 (4.8%) | Auvernier-Cordé - Campaniforme |
| 12 | BS | 32412 | coupe 8, couche 4 | 19 | 3895±55 BP | 2470-2290 (68.2%) | 2560-2530 (2.0%) 2500-2200 (95.4%) | Auvernier-Cordé - Campaniforme |
| 13 | MT | 32568 | St. 139 | 12 | 4115±55 BP | 2860-2800 (17.5 %) 2760-2720 (10.6 %) 2710-2580 (40.1 %) | 2880-2560 (92.4 %) 2520-2490 (3.0 %) | Lüscherz récent - Auvernier-Cordé |
| 14 | MT | 32567 | St. 119 | 12 | 4120±55 BP | 2870-2800 (18 %) 2760-2580 (50.2 %) | 2880-2560 (93.4%) 2520-2490 (2.0 %) | Lüscherz récent - Auvernier-Cordé |
| 15 | GL | 32575 | St. 38 | 12 | 4195±55 BP | 2890-2840 (17.6%) 2820-2740 (33.4%) 2730-2670 (17.2%) | 2910-2620 (95.4%) | Lüscherz - Auvernier-Cordé |
| 16 | GL | 36546 | St. 149 | 12 | 4235±40 BP | 2910-2860 (40.4%) 2810-2760 (27.6%) | 2920-2830 (48.0%) 2820-2670 (47.4%) | Lüscherz |
| 17 | GL | 32577 | St. 58 | 12 | 4240±50 BP | 2910-2860 (36.5%) 2810-2750 (26.5%) 2720-2700 (5.2%) | 2930-2830 (45.0 %) 2820-2630 (50.4 %) | Lüscherz - Auvernier-Cordé |
| 18 | GL | 36544 | St. 25 | 12 | 4305±40 BP | 3010-2980 (11.8%) 2940-2880 (56.4%) | 3030-2870 (95.4 %) | Horgen - Lüscherz récent |
| 19 | BS | 32401 | St. 93 | 18 | 4440±50 BP | 3330-3210 (28.9%) 3180-3150 (3.7%) 3120-3010 (35.6%) | 3340-3150 (40.7%) 3140-2920 (54.7%) | Horgen - Lüscherz ancien |
| 20 | MT | 32569 | St. 143 | 12 | 4550±55BP | 3370-3310 (20.2 %) 3300-3260 (2.3 %) 3240-3110 (45.6 %) | 3500- 3450 (5.2 %) 3380-3080 (88.7 %) 3060-3030 (1.5 %) | Port-Conty - Horgen |
| 21 | GL | 32578 | St. 65 | 12 | 4590±55 BP | 3500-3430 (23.6 %) 3380-3320 (23.7%) 3220-3180 (10.9%) 3160-3120 (10.0%) | 3520-3260 (63.3%) 3250-3100 (32.1%) | Cortaillod tardif - Horgen |
| 22 | MT | 32573 | coupe 9, couche 11 | 13 | 4640±60 BP | 3520-3350 (68.2 %) | 3650-3300 (89.3 %) 3250-3100 (6.1 %) | Cortaillod tardif - Port Conty |
| 23 | GL | 32576 | St. 42 | 12 | 4670±55 BP | 3520-3360 (68.2 %) | 3640-3560 (14.7 %) 3540-3350 (80.7 %) | Cortaillod tardif - Port Conty |
| 24 | MT | 39540 | St. 134 | 12 | 5100±40 BP | 3970-3930 (23.8 %) 3880-3800 (44.4 %) | 3990-3790 (95.4 %) | Proto-Cortaillod - Cortaillod classique |
| 25 | BS | 32402 | St. 125 | 12 | 5255±55 BP | 4230-4200 (8.9%) 4170-4100 (19.2%) 4080-3980 (40.1%) | 4240-3960 (95.4%) | Proto-Cortaillod |
| 26 | BS | 32406 | St. 160 | 18 | 5590±60 BP | 4470-4350 (68.2%) | 4540-4330 (95.4%) | Proto-Cortaillod |
| 27 | BS | 32403 | St. 126 | 12 ou 18 | 5845±55 BP | 4790-4650 (60.5%) 4640-4610 (7.7%) | 4830-4550 (95.4%) | Proto-Cortaillod |
| 28 | GL | 36545 | St. 26 | 12 | 6985±45 BP | 5980-5950 (11.2 %) 5920-5800 (57.0 %) | 5990-5750 (95.4 %) | Mésolithique récent |
| 29 | GL | 35042 | St. 98 | 12 | 10590±80 BP | 10840-10640 (53.3 %) 10520-10450 (14.9 %) | 10900-10400 (95.4 %) | Epipaléolithique |

Fig. 44. Tableau synthétique des datations par radiocarbone antérieures au Bronze final pour le versant occidental de la colline d'Onnens (voir Orcel et al. 2006 a, b, c; Hurni et al. 2008a, b et 2010).

GL = La Golette; MT = Le Motti; BS = Beau Site. La colonne «phase» renvoie au chap. 3.2.

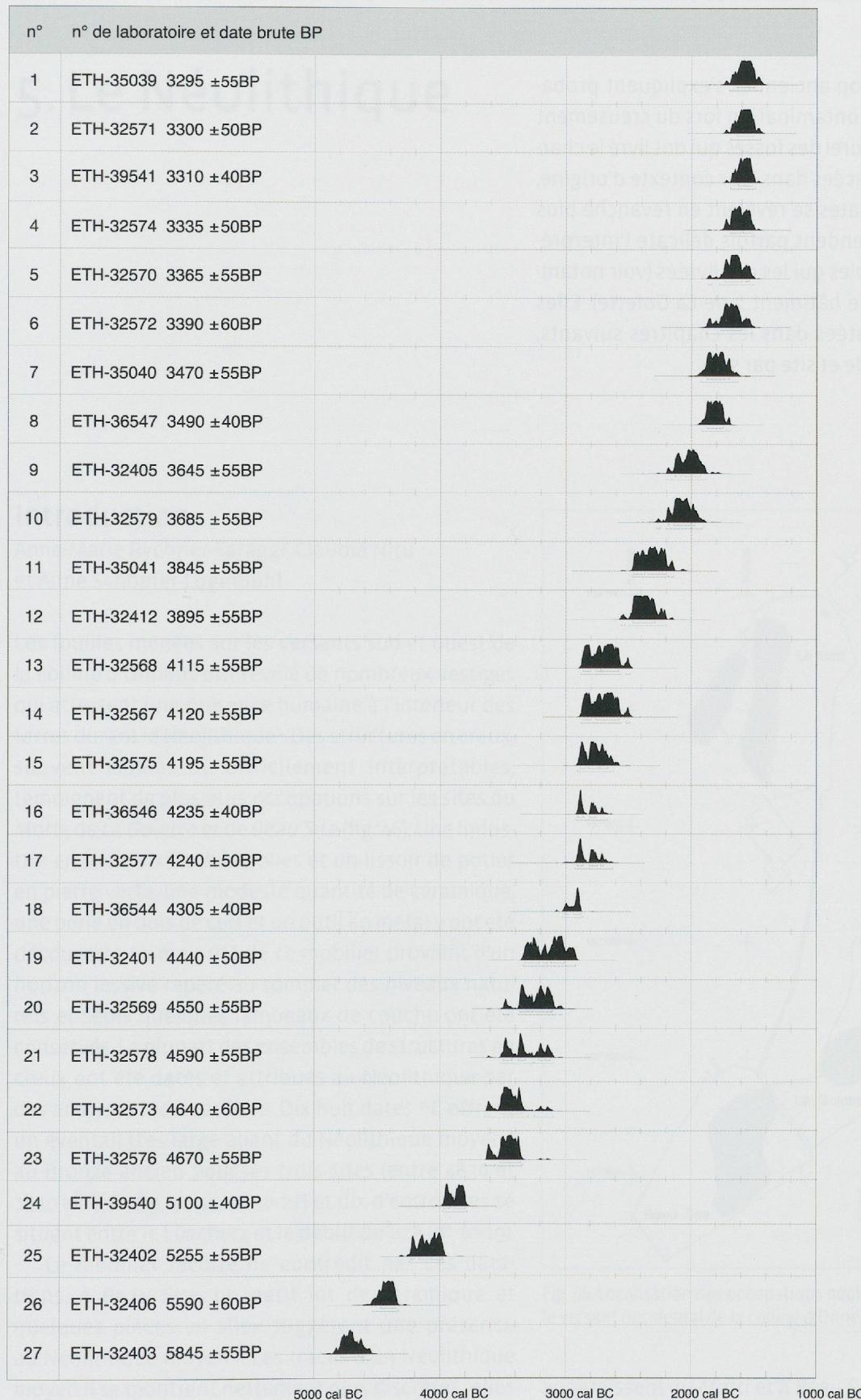


Fig. 45. Graphiques des probabilités des dates présentées fig. 44 (les dates 28 et 29 ne sont pas illustrées). Programme OxCal v3.10 (Bronk Ramsey 2005); cub r:5 sd:12 prob usp [chron]; d'après Reimer et al. 2004.

manifestement trop anciennes s'expliquent probablement par une contamination lors du creusement dans le terrain naturel des fosses qui ont livré le charbon analysé. Replacées dans leur contexte d'origine, certaines de ces dates se révèlent en revanche plus surprenantes et rendent parfois délicate l'interprétation des ensembles qui les ont livrées (voir notamment chap. 5.2.5, le bâtiment 2 de *La Golette*). Elles seront donc discutées dans les chapitres suivants, période par période et site par site.